

اکتشاف ذخایر طلاي هیدروترمال با استفاده از انواع عملگرهای فازی در

محیط GIS در منطقه تربت حیدریه

مسین شاهی*^۱ و ابوالقاسم کامکار رومانی^۲

(۱) دانشجوی دکترای مهندسی اکتشاف معدن، دانشکده مهندسی معدن، نفت و ژئوفیزیک، دانشگاه صنعتی شاهرود،

Hssn.shahi@Gmail.com،

(۲) دانشیار، دانشکده مهندسی معدن، نفت و ژئوفیزیک، دانشگاه صنعتی شاهرود، kamkarr@yahoo.com

(* عهده‌دار مکاتبات)

دریافت: ۹۱/۴/۸؛ دریافت اصلاح شده: ۹۲/۲/۱۲؛ پذیرش: ۹۲/۲/۱۴؛ قابل دسترس در تارنما: ۹۲/۵/۳۱

هکیده

یکی از روش‌های تهیه نقشه پتانسیل معدنی به کمک سیستم اطلاعات جغرافیایی (Geography information system, GIS)، استفاده از روش منطق فازی است. منطق فازی، یکی از روش‌های متکی بر دانش است. به کمک این روش، به‌ویژه در مواردی که اندیس‌های معدنی و کانی‌سازی محدود باشند، بر اساس نظر کارشناس و با اختصاص ضرایب و وزن‌های منطقی به لایه‌های اطلاعاتی، می‌توان به نتایج قابل قبولی دست یافت. در این پژوهش، به منظور تهیه نقشه پتانسیل معدنی مطلوب طلاي هیدروترمال در منطقه تربت حیدریه در استان خراسان رضوی، از روش منطق فازی بر روی داده‌های آلتراسیونی حاصل از تصاویر ماهواره ای، ژئوفیزیک هوایی، زمین‌شناسی، ساختاری و ژئوشیمیایی رسوبات آبراهه‌ای استفاده شد. در ادامه، مناطق احتمالی کانی‌زایی به ترتیب اولویت بر روی نقشه مشخص شدند. وجود اندیس‌ها و رگه‌های اصلی کانی‌سازی منطقه در این محدوده‌ها، نشان دهنده‌ی کارآمد بودن این روش است. در نهایت، نتایج حاصل از ۵ عملگر روش فازی نیز با یکدیگر مقایسه شدند.

واژه‌های کلیدی: منطق فازی، پتانسیل معدنی، سیستم اطلاعات جغرافیایی، روش‌های متکی بر دانش.

۱- مقدمه

(GIS) استفاده شد روش فازی در زمینه‌های بسیاری مورد استفاده

قرار گرفته است (Carranza & Hale 2001, Cheng & Agterberg 1999, Porwal et al. 2006, Topçu & Saridemir 2008).

تجربه اجرای عملیات اکتشافی و بررسی ارتباط و وابستگی بین ذخایر معدنی شناخته شده و الگوهای زمین‌شناسی در نواحی که در آن‌ها اکتشاف در حد خوب و متوسط صورت گرفته، به عنوان اساس روش دانش محور در تهیه مدل پتانسیل معدنی می‌باشد (Carranza 2008) در این مطالعه نتایج داده‌های ژئوفیزیک هوایی، زمین‌شناسی، اطلاعات ساختاری، ژئوشیمیایی و دورسنجی، با استفاده از روش فازی

کشور ایران با توجه به موقعیت و ساختار زمین‌شناسی خاصی که دارد، از پتانسیل معدنی نسبتاً خوبی برخوردار است. تنوع مواد معدنی کشف شده در گذشته، این مسأله را تأیید می‌نماید. تربت حیدریه یکی از مناطق دارای پتانسیل کانی‌سازی طلا و مس می‌باشد که در امتداد شرقی زون تکتار قرار گرفته و از جنوب به گسل درونه (کویر بزرگ) و از شمال به گسل ریوش محدود می‌شود.

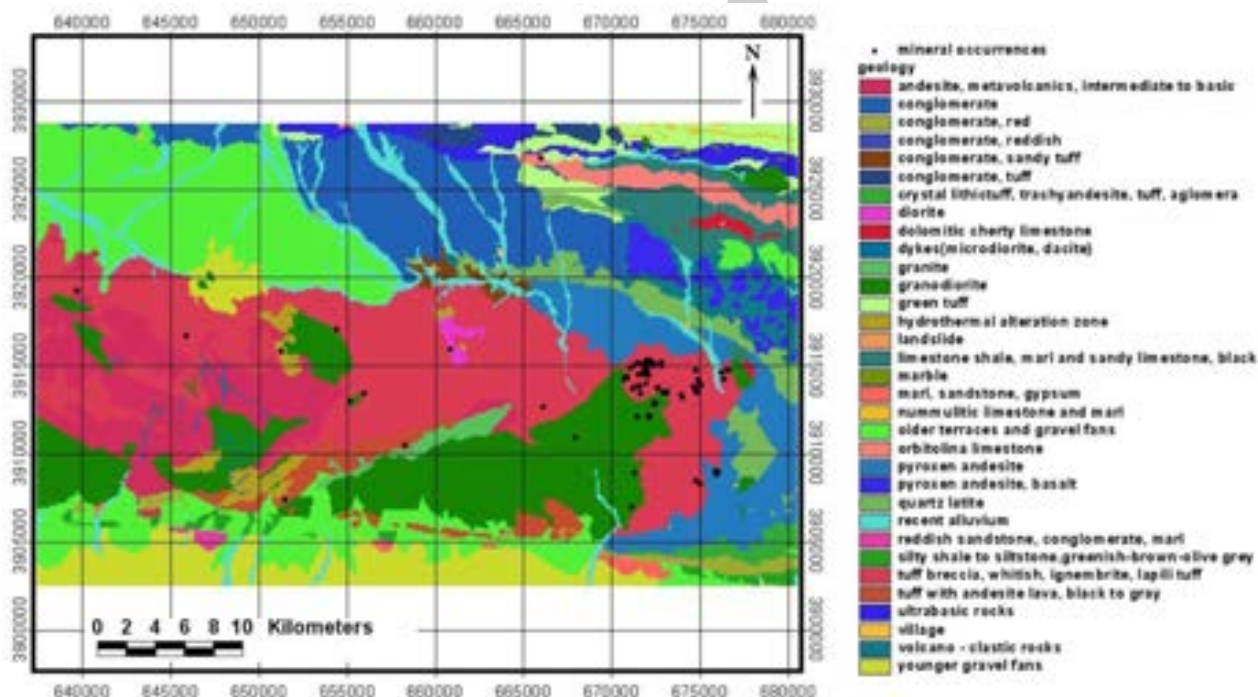
در این مطالعه، به منظور شناسایی مناطق پتانسیل دار طلا، از روش فازی به عنوان یکی از روش‌های دانش محور در محیط جی‌آی‌اس

شروع شده و با گدازه‌های سیاه رنگ با ترکیب آندزیتی همراه می‌شوند. بر روی این واحد، ضخامت زیادی از توف‌های برش سفید رنگ، برشهای ولکانیکی، توف‌های ماسه‌ای خاکستری‌رنگ، ایگنیمبریت و لاپیلی توف قرار گرفته است. همزمان با فعالیت توفی، گدازه‌هایی با ترکیب آندزیتی وجود دارند که توسط همان واحد پوشیده می‌شوند. در شرق نقشه تربت حیدریه، این مجموعه با کمی اختلاف در رخساره سنگی، توسط کنگلومرای بصورت ناپیوستگی دگر شیب بر روی رسوبات کرتاسه قرار گرفته است. آخرین محصول فعالیت‌های آتشفشانی مربوط به این زمان، پیروکسن، آندزیت، آلکالی بازالت و تراکی آندزیت با بافت پورفیری و گلمرو پورفیری می‌باشند (کانی‌های پیروکسن و اولوین نیز در آن یافت می‌شود). این کانی‌ها در زمینه‌ای از پلاژیوکلاز و فلدسپات آلکالی قرار گرفته‌اند. ماگماتیسم بعد از ائوسن در زون تکنار غالباً با نفوذ توده‌های گرانودیوریت و دیوریت در داخل سنگهای ولکانیکی و آذرآواری پالئوژن در شمال و مرکز ناحیه فیض‌آباد مشخص می‌شود (حیدری ۱۳۹۰). در تصویر ۱، نقشه زمین‌شناسی منطقه ارائه شده است.

با یکدیگر تلفیق گردیده و مناطق احتمالی کانی‌زایی به ترتیب اولویت مشخص شدند. در مناطق دارای اولویت اکتشافی مدل سازی شده، رگه‌ها و زونهای کانی سازی قابل توجهی قرار گرفته که بیانگر توانمند بودن روش فازی برای شناسایی مناطق دارای پتانسیل معدنی است.

۲- زمین‌شناسی منطقه

منطقه مورد مطالعه در زون تکنار قرار گرفته است. این زون در شمال گسل درونه بصورت یک بلوک گوه‌ای شکل بالا آمده و باعث برونزد سنگ‌های پالئوزویک، مزوزویک و سنوزویک شده است. واحدهای سنگی زون تکنار تفاوت‌های رخساره‌ای و ساختمانی را نسبت به نواحی مجاور نشان می‌دهند. این زون بوسیله دو گسل اصلی درونه در جنوب و ریوش (تکنار) در شمال محدود شده است. هر دو گسل دارای روند تقریباً خاوری - باختری با فعالیت تکتونیکی امتداد لغز می‌باشند. در بخش شرقی زون تکنار و محدوده بین دو گسل درونه و تکنار، فعالیت‌های ولکانیکی ترشیری با توف خاکستری تیره و گاه ایگنیمبریتی



تصویر ۱- نقشه زمین‌شناسی ۱:۱۰۰۰۰۰ منطقه تربت حیدریه (حیدری ۱۳۹۰)

اکتشافی در فرایند مدل‌سازی است (Harris et al. 2001). بر اساس تئوری مجموعه فازی، بازه‌ای از مقادیر ما بین صفر و یک می‌توانند برای بیان درجه یا میزان ارزش اعضای یک مجموعه مورد استفاده قرار گیرند (Novriadi et al. 2006, Tangestani 2009, de Gruijter et al. 2011).

۳- آشنایی با روش منطق فازی

روش‌های تلفیق نقشه‌های مختلف اکتشافی (به منظور تهیه نقشه امید بخش معدنی)، به دو گروه اصلی متکی بر دانش و متکی بر داده تقسیم می‌شوند. روش منطق فازی یکی از روش‌های متکی بر دانش می‌باشد. مزیت این روش‌ها تلفیق دانش و تخصص یک زمین‌شناس

۳-۲- عملگر گنگ OR

عملگر گنگ OR به صورت رابطه ۲ بیان می‌شود.

$$\mu_{\text{Combine}} = \text{Max}(\mu_A, \mu_B, \mu_C, \dots) \quad (2)$$

با استفاده از این عملگر، مقادیر عضویت خروجی توسط مقادیرهای حداقلی عضویت گنگ نقشه‌ها در هر موقعیت کنترل می‌شوند. با به کارگیری این عملگر، مقدار عضویت ترکیب شده در هر محل تنها توسط مناسب‌ترین نقشه‌های نشانگر محدود می‌شود. زمانی که شاخص‌های مورد نظر کانی زایی کمیاب بوده و حضور هر نشانگر مثبت می‌تواند برای اظهار مطلوبیت مفید و کافی باشد، برای تهیه نقشه‌های پتانسیل معدنی، می‌توان از عملگر ترکیبی گنگ OR، استفاده نمود.

۳-۳- ضرب جبری گنگ

نتیجه عمل تلفیق توسط دو عملگر گنگ AND و گنگ OR، فقط متأثر از یکی از نقشه‌های مورد استفاده برای انجام عمل تلفیق می‌باشد، درحالی‌که عملگرهایی که در ادامه معرفی خواهند شد، اثرات کلیه شواهد بکار رفته برای تلفیق را در نظر گرفته و نقشه خروجی مختلط تولید می‌نمایند.

حاصلضرب جبری گنگ به صورت رابطه ۳، بیان می‌شود.

$$\mu_{\text{Combine}} = \prod_{i=1}^n \mu_i \quad (3)$$

در این رابطه، μ_i تابع عضویت گنگ برای i مین نقشه و $i = 1, 2, 3, \dots, n$ تعداد نقشه‌هایی است که باید با یکدیگر ترکیب گردند. مقادیر عضویت گنگ ترکیب شده با این عملگر، به مقادیر بسیار کوچک میل نموده و خروجی همواره کوچکتر یا مساوی کوچکترین مقدار عضویت خواهد بود. بنابراین، می‌توان گفت که این عملگر دارای اثر کاهشی است.

۳-۴- جمع جبری گنگ

این عملگر مکمل حاصلضرب جبری گنگ بوده و به صورت رابطه ۴، بیان می‌شود.

$$\mu_{\text{Combine}} = 1 - \prod_{i=1}^n (1 - \mu_i) \quad (4)$$

بر خلاف حاصلضرب جبری گنگ، این عملگر دارای اثر افزایشی است و نتیجه آن همیشه بزرگتر یا مساوی بزرگترین مقدار عضویت گنگ خواهد بود. بدین ترتیب که دو قسمت از شواهد که هر دو تأیید کننده فرضیه واحدی می‌باشند، یکدیگر را تقویت می‌نمایند. باید توجه داشت که اگرچه حاصلضرب جبری گنگ واقعاً عمل ضرب جبری است، ولی در مقابل جمع جبری گنگ یک جمع جبری نخواهد بود.

بدین ترتیب، مقدار صفر به معنای عدم عضویت کامل و مقدار یک به معنای عضویت کامل اعضای مجموعه می‌باشد (An et al. 1991). سایر اعضای مجموعه نیز می‌توانند مقادیری را بین صفر تا یک و بر اساس درجه قطعیت عضویتشان به مجموعه و به خود اختصاص دهند. بنابراین، مقادیر عضویت گنگ بایستی در محدوده ۰ تا ۱ باشند. البته، هیچ مانع و محدودیتی در رابطه با انتخاب مقادیر عضویت گنگ وجود نداشته و این مقادیر تنها برای انعکاس میزان عضویت اعضای یک مجموعه و بر اساس قضاوت ذهنی کارشناس انتخاب می‌گردند. بنابراین در بحث اکتشافات معدنی می‌توان گفت که مقادیر عضویت برای نشان دادن اهمیت نسبی هر نقشه و هر کلاس از یک نقشه منفرد، بکار می‌روند. مقادیر اختصاص یافته به هر عضو یک مجموعه را توابع عضویت فازی مشخص می‌نمایند. شکل این توابع لزوماً خطی نبوده و می‌توانند هر شکل تجزیه‌ای یا اختیاری را متناسب با مشکل مورد نظر داشته باشند (بونهام-کارتر ۱۳۷۹). لایه‌های تولید شده اکتشافی در GIS در بخش تئوری فازی، در نقش مجموعه‌های فازی ظاهر شده و توسط عملگرهای فازی با یکدیگر ترکیب می‌شوند. با داشتن دو یا چند نقشه با توابع عضویت گنگ، می‌توان عملگرهای متنوعی را برای ترکیب مقادیر عضویت بکار گرفت. شبکه استنتاج فازی با استفاده از عملگرهایی مانند "و"، "یا"، ضرب و جمع جبری، ترکیب ضرب و جمع، عملگر منطقی گامای فازی و روش میانگین وزنی مرتب شده فازی، ایجاد می‌شود (Fallah-Ghalhary et al. 2009). متکان و همکاران (۱۳۸۸). آن و همکاران (An et al. 1999)، پان و هریس (Pan & Harris 2000) و بونهام-کارتر (۱۳۷۹) درباره ۵ عملگری که برای ترکیب مجموعه داده‌های اکتشافی سودمند می‌باشند بحث نموده و روش کار این عملگرها را به شرح زیر بیان نمودند.

۳-۱- عملگر گنگ AND

این عملگر از رابطه ۱، برای انجام عمل تلفیق استفاده می‌نماید.

$$\mu_{\text{Combine}} = \text{Min}(\mu_A, \mu_B, \mu_C, \dots) \quad (1)$$

در این رابطه $\mu_A, \mu_B, \mu_C, \dots$ به ترتیب مقادیر عضویت گنگ برای نقشه‌های A، B، C و ... در یک موقعیت بخصوص از هر نقشه می‌باشند. واضح است که استفاده از این عملگر منجر به تولید نقشه خروجی با کوچکترین مقدار عضویت گنگ در هر موقعیت می‌گردد. به بیان دیگر، استفاده از این عملگر با تمایل به ایجاد مقادیر کوچک، به پدید آمدن تخمینی محافظه کارانه کمک خواهد نمود. عملگر گنگ AND، در شرایطی که دو یا چند قسمت از مدارک یا شواهد برای اثبات فرضیه‌ای باید با هم وجود داشته باشند، کارایی داشته و مورد استفاده قرار می‌گیرد.

۳-۵- عملگر گاما

عملگر گاما برحسب دو عملگر ضرب و جمع جبری گنگ بوده و به صورت رابطه ۵، بیان می‌شود.

$$\mu_{\text{Combine}} = (\prod_{i=1}^n \mu_i^{1-\gamma}) \times (1 - \prod_{i=1}^n (1 - \mu_i)^\gamma) \quad (5)$$

در این رابطه، γ پارامتری در محدوده (۰,۱) است. در صورتی که مقدار γ برابر با یک انتخاب گردد، نتیجه ترکیب همان جمع جبری گنگ بوده و در صورتی که صفر باشد حاصل، ضرب جبری گنگ خواهد بود. بدون شک، انتخاب صحیح و آگاهانه γ ، در خروجی مقادیری را ارائه می‌دهد تا سازگاری قابل انعطافی مابین گرایشات افزایشی جمع جبری گنگ و اثرات کاهش‌ی حاصل ضرب جبری گنگ ایجاد گردد.

اثرات افزایشی مقادیر بزرگ γ ، تصمیم‌گیری ذهنی مهندسان اکتشافی را به بهترین شکل منعکس می‌نمایند.

۴-۱-۴- بحث

۴-۱-۴- نحوه کلاس‌بندی لایه‌های مورد استفاده جهت تلفیق و امتیازدهی به هر کلاس

برای تهیه نقشه پتانسل مطلوب، ابتدا وزن دهی به کمک روش فازی بر روی لایه های آلتراسیون (حاصل از تصاویر ماهواره ای)، ژئوفیزیک هوایی، زمین شناسی، ساختاری و ژئوشیمیایی رسوبات آبراه‌ای به شرح زیر انجام گرفت.

۴-۱-۱- آلتراسیون: برای طبقه‌بندی لایه دورسنجی

در این پژوهش برای طبقه‌بندی لایه دورسنجی، از انواع آلتراسیون-های شناسایی شده در منطقه استفاده شد. بنابراین، مناطق آلتراسیونی، پروپلیتیک، آرژیلیک و اکسیدهای آهن با استفاده از روش‌های دورسنجی بر روی عکس‌های ماهواره ای استر شناسایی شده و به صورت لایه های مجزا همراه با بافرهای ۱۰۰ متری تحت امتیازدهی فازی قرار گرفتند. (جداول ۱، ۲، ۳).

جدول ۱- نحوه امتیازدهی فازی به نقشه آلتراسیون آرژیلیک و بافرهای ۱۰۰ متری

امتیاز فازی فاصله از آلتراسیون آرژیلیک (متر)	
۰ - ۱۰۰	۰/۵
۱۰۰ - ۲۰۰	۰/۴
۲۰۰ - ۳۰۰	۰/۳
۳۰۰ - ۴۰۰	۰/۲۵
منطقه آلتراسیون	۰/۶
سایر مناطق	۰/۲

جدول ۲- نحوه امتیازدهی فازی به نقشه آلتراسیون پروپلیتیک و بافرهای ۱۰۰ متری

امتیاز فازی فاصله از آلتراسیون پروپلیتیک (متر)	
۰ - ۱۰۰	۰/۴
۱۰۰ - ۲۰۰	۰/۳۵
۲۰۰ - ۳۰۰	۰/۳۵
۳۰۰ - ۴۰۰	۰/۳۵
منطقه آلتراسیون	۰/۴
سایر مناطق	۰/۲

جدول ۳- نحوه امتیازدهی فازی به نقشه آلتراسیون اکسید آهن و بافرهای ۱۰۰ متری

امتیاز فازی فاصله از آلتراسیون اکسید آهن (متر)	
۰ - ۱۰۰	۰/۶
۱۰۰ - ۲۰۰	۰/۵
۲۰۰ - ۳۰۰	۰/۴
۳۰۰ - ۴۰۰	۰/۴
منطقه آلتراسیون	۰/۷
سایر مناطق	۰/۲

۴-۱-۲- مغناطیس هوایی

برای ارزیابی ویژگیهای ژئومغناطیسی منطقه، از نقشه‌های ۱:۲۵۰۰۰۰ مغناطیس هوایی استفاده شد. پس از پردازش و تفسیر نقشه، ساختارهای عمقی و بخش‌های با شدت مغناطیس بالا در منطقه شناسایی شدند. بررسی‌ها نشان می‌دهد که کمربند گرانودیوریت و پیروکسن آندزیت بازالیت با شدت‌های بالای مغناطیسی انطباق دارند، که با توجه به بررسی‌های انجام شده و گسترش گرانودیوریت‌ها، شدت مغناطیسی بالا را می‌توان به این سنگ‌ها نسبت داد.

با اعمال فیلترهای مختلف، مشخص شد که این ناهنجاری مغناطیسی در عمق نیز ادامه دارد. با در نظر گرفتن سنگهای خروجی اطراف، می‌توان نتیجه گرفت که توده گرانیتوئیدی در عمق وسعت زیاد و در سطح رخنمون کمی دارد. شدت میدان مغناطیسی در منطقه به ۵ ناحیه تقسیم شده و وزن دهی فازی بر روی آن انجام گردید (جدول ۴).

۴-۱-۳- ژئوشیمی

در این مطالعه، از نتایج نمونه برداری های ژئوشیمیایی رسوبات آبراه‌ای استفاده شد. آنومالی‌های ژئوشیمیایی مربوط به عنصر طلا در این نمونه‌ها جهت وزن دهی، به ۴ کلاس تقسیم شدند. (جدول ۵).

جدول ۴- نحوه امتیازدهی فازی به نقشه شدت میدان مغناطیسی

امتیاز فازی شدت میدان مغناطیسی (nt)	
۰/۳	> ۴۰۲۶۵
۰/۴	۴۰۲۶۵ - ۴۰۲۴۰
۰/۵	۳۹۸۵۰ - ۴۰۲۴۰
۰/۲	۳۹۸۰۰ - ۳۹۸۵۰
۰/۱	۳۹۸۰۰ <

جدول ۷- نحوه امتیازدهی فازی به نقشه گسل های منطقه

امتیاز فازی	فاصله از گسل
۰/۶	۰ - ۲۰۰
۰/۵	۲۰۰ - ۴۰۰
۰/۴	۴۰۰ - ۶۰۰
۰/۳	۶۰۰ - ۸۰۰
۰/۱	سایر مناطق

۴-۲- تلفیق لایه‌های وزن دار شده جهت تهیه نقشه پتانسیل

مطلوب کانی سازی با استفاده از عملگرهای مختلف فازی

پس از امتیازدهی به نقشه‌های اکتشافی، این لایه‌ها توسط عملگرهای مختلف فازی با یکدیگر تلفیق و نقشه پتانسیل مطلوب حاصل از آنها تعیین گردید.

۴-۲-۱- عملگر گنگ AND

استفاده از این عملگر منجر به تولید نقشه خروجی با کوچکترین مقدار عضویت گنگ در هر موقعیت می‌شود (تصویر ۲). به عبارت دیگر، استفاده از این عملگر با تمایل به ایجاد مقادیر کوچک، به پدید آمدن تخمینی محافظه کارانه کمک می‌کند.

۴-۲-۲- عملگر گنگ OR

در این عملگر، مقادیر عضویت خروجی توسط مقادیر حداکثر عضویت گنگ نقشه‌ها در هر موقعیت کنترل می‌شوند (تصویر ۳). بنابراین مقدار عضویت ترکیب شده در هر محل تنها توسط مناسب‌ترین نقشه‌های نشانگر محدود می‌شود.

۴-۲-۳- ضرب جبری گنگ

با توجه به اینکه مقادیر عضویت گنگ ترکیب شده با این عملگر به مقادیر بسیار کوچک میل می‌کند، خروجی همواره کوچکتر یا مساوی کوچکترین مقدار عضویت خواهد بود (تصویر ۴).

۴-۲-۴- جمع جبری گنگ

نتیجه حاصل از این عملگر همیشه بزرگتر یا مساوی بزرگترین مقدار عضویت گنگ خواهد بود. دو قسمت از شواهد که هر دو تأیید کننده فرضیه واحدی می‌باشند، در طی فرایند تلفیق یکدیگر را تقویت می‌نمایند (تصویر ۵).

جدول ۵- نحوه امتیازدهی فازی به نقشه آنومالی ژئوشیمیایی عنصر طلا

امتیاز فازی عیار طلا (ppm)

۰/۱	> ۲/۵
۰/۴	۲/۵ - ۵
۰/۶	۵ - ۱۰
۰/۷	۱۰ <

۴-۱-۴- لیتولوژی

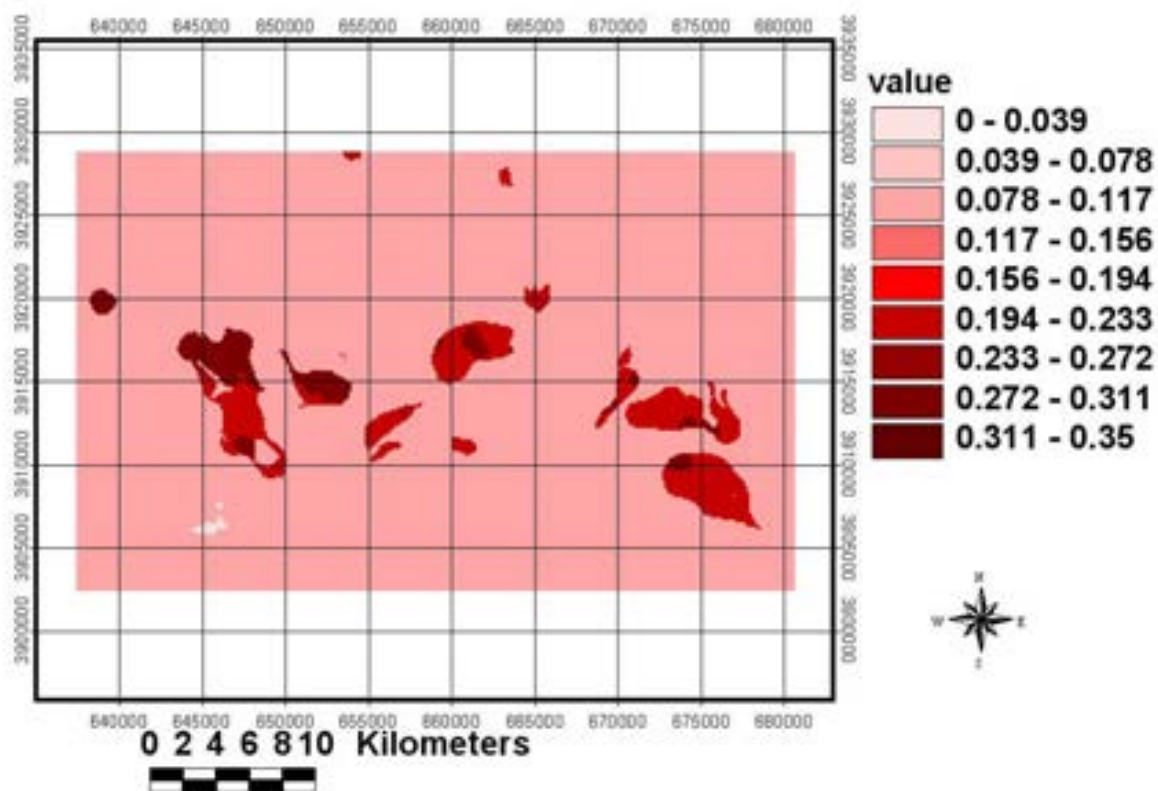
با توجه به نوع لیتولوژی اندیس های کانی سازی و نوع تیپ کانی سازی محدودی مورد مطالعه، سنگ‌های منطقه به ۴ نوع سنگ های ولکانیکی، پلوتونیک، رسوبی و دگرگونی تقسیم شدند. وزن دهی لایه زمین شناسی نیز بر این اساس انجام شد (جدول ۶).

۴-۱-۵- گسل‌ها

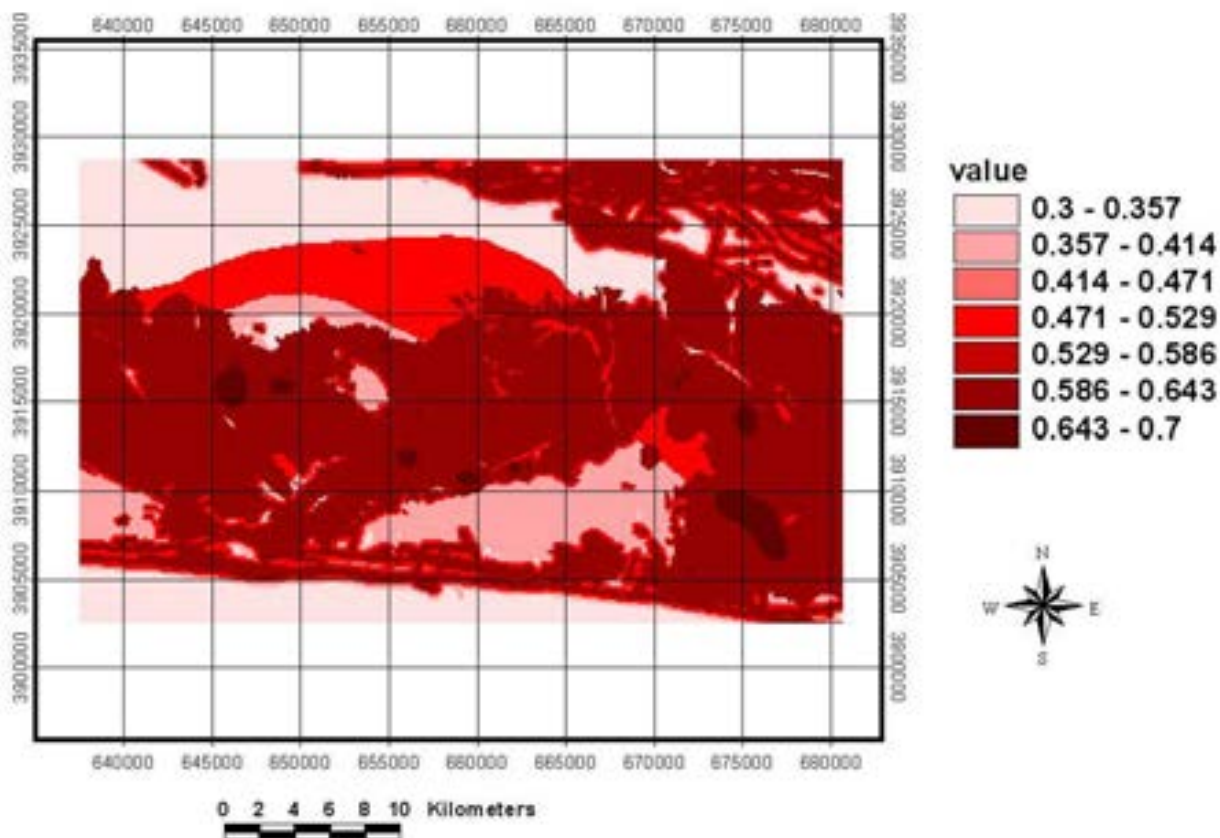
نقشه مربوط به گسل ها با استفاده از نقشه زمین شناسی ۱:۱۰۰۰۰۰ منطقه تهیه شد. محدوده ۸۰۰ متری از اطراف گسل‌های اصلی منطقه با بافرزنی به فواصل ۲۰۰ متر به ۴ کلاس تقسیم شد. در ادامه، با امتیازدهی به صورت فازی، لایه اطلاعاتی مربوط به گسل‌ها ساخته شد. در جدول ۷، نحوه امتیاز دهی به این لایه‌ها ارائه شده است.

جدول ۶- نحوه امتیازدهی فازی به نقشه زمین شناسی و انواع لیتولوژی ها

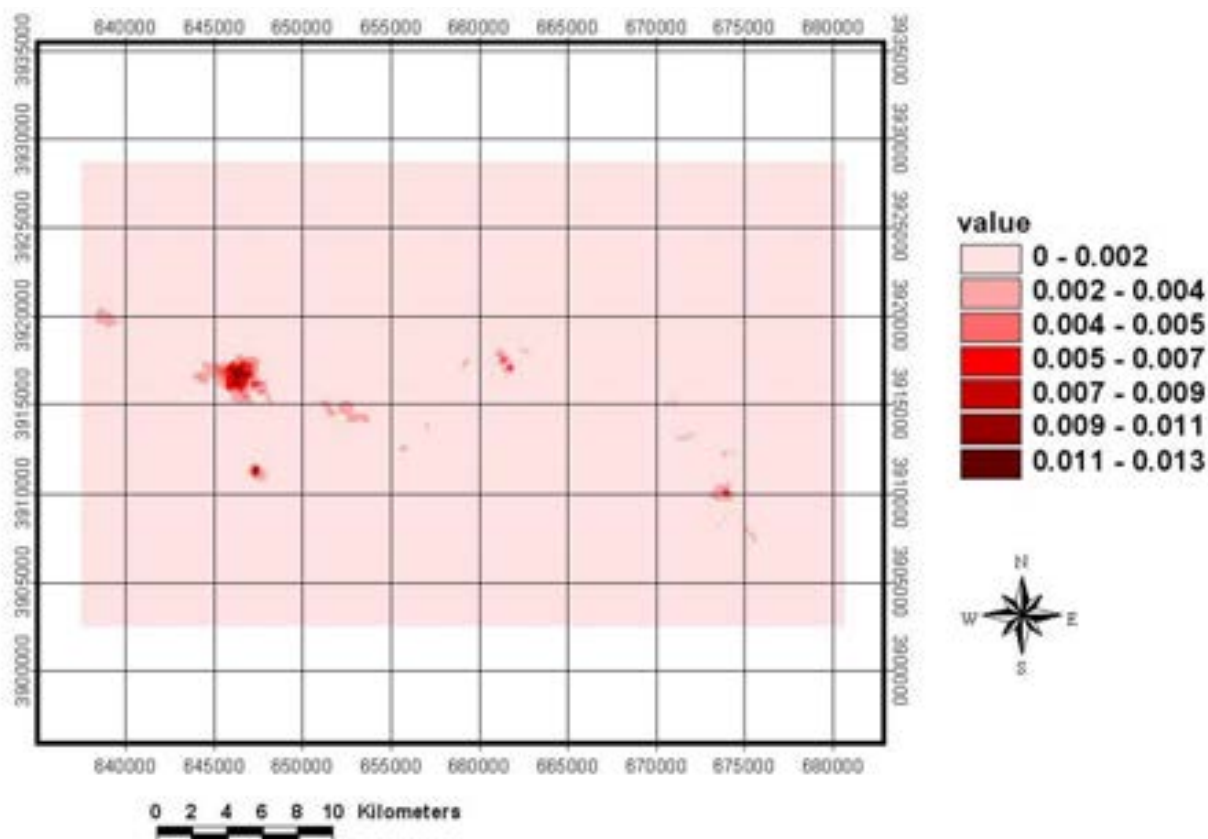
امتیاز فازی	لیتولوژی
۰/۶	سنگهای ولکانیکی
۰/۴	سنگهای پلوتونیک
۰/۱	سنگهای رسوبی و دگرگونی



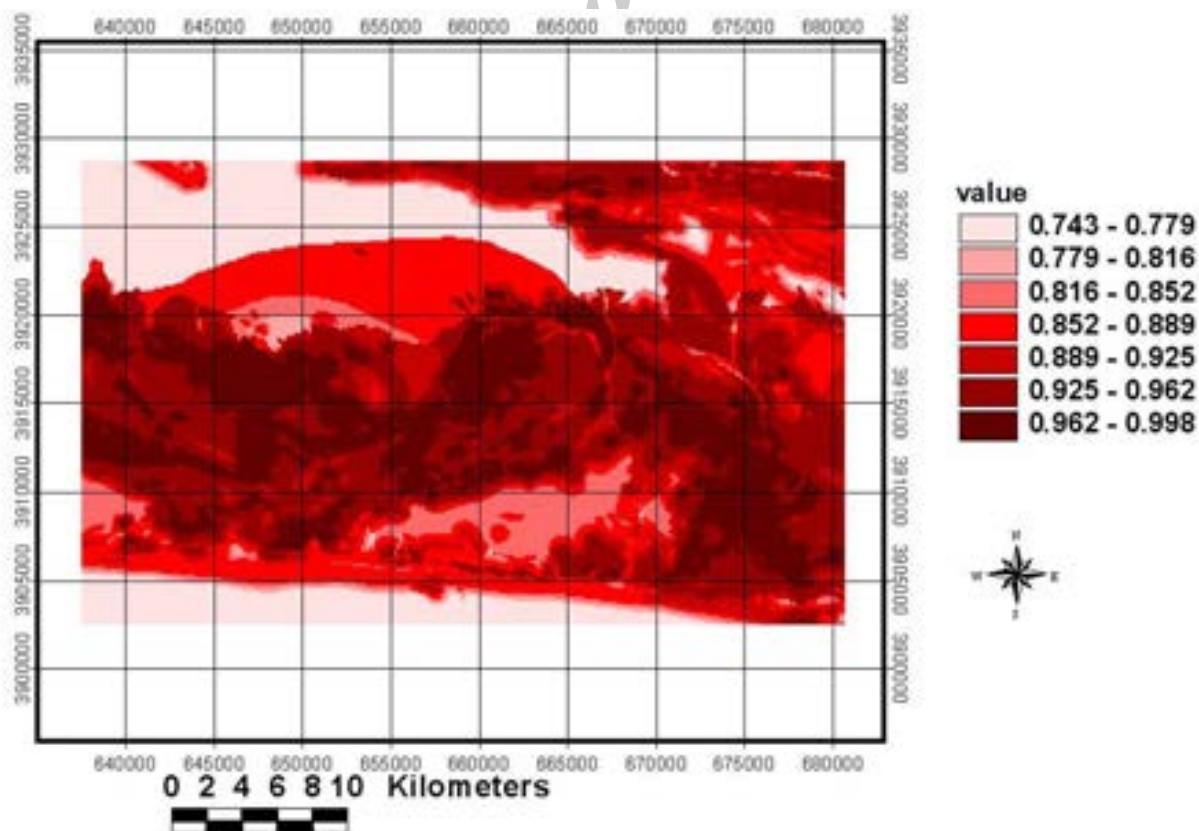
تصویر ۲- نقشه پتانسیل مطلوب کانی سازی طلا با استفاده از عملگر AND



تصویر ۳- نقشه پتانسیل مطلوب کانی سازی طلا با استفاده از عملگر OR



تصویر ۴- نقشه پتانسیل مطلوب کانی سازی طلا با استفاده از عملگر ضرب جبری

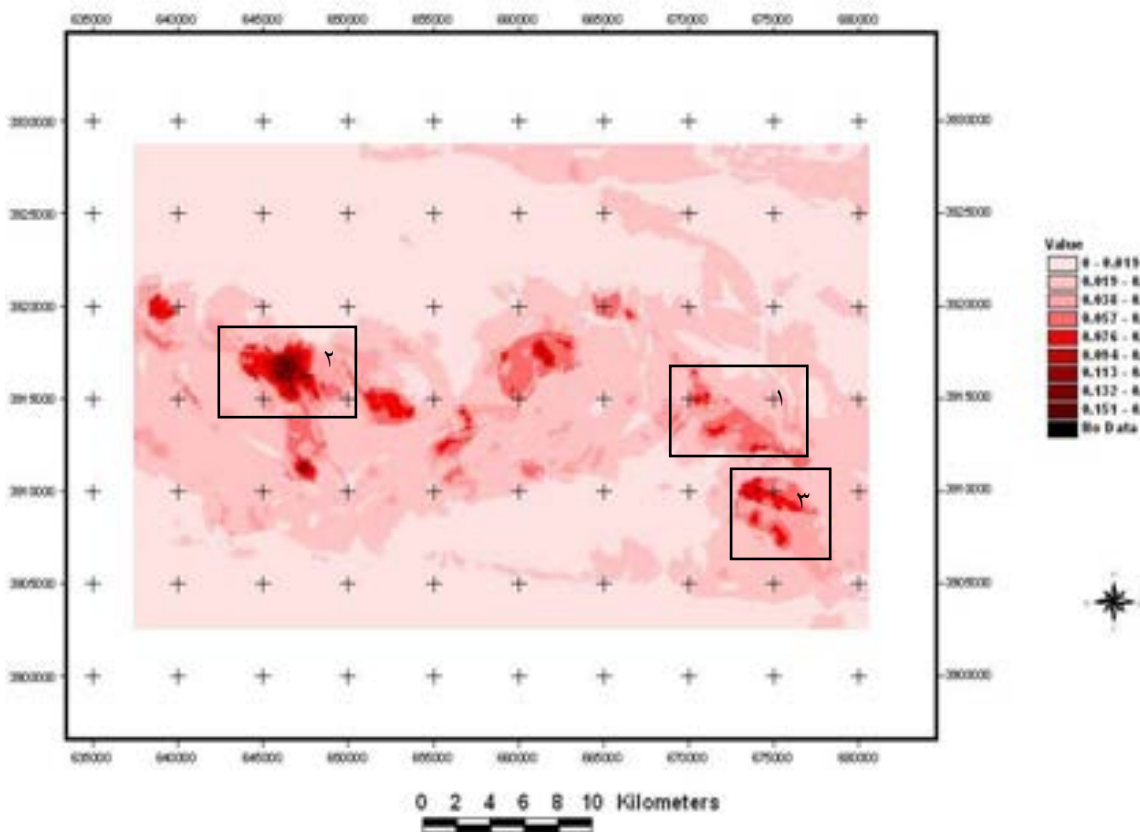


تصویر ۵- نقشه پتانسیل مطلوب کانی سازی طلا با استفاده از عملگر جمع جبری

۴-۲-۵- عملگر گاما

حاصل از این عملگر بهتر توانسته مناطق با اهمیت را تقسیم بندی کند (تصویر ۶).

در این مطالعه، از گامای ۰/۶ برای یافتن نقشه پتانسیل مطلوب استفاده شد. با توجه به اندیس های کانی سازی در منطقه، نتیجه



تصویر ۶- نقشه پتانسیل مطلوب کانی سازی طلا با استفاده از عملگر گاما

محدودی به صورت رگچه ای در استوک های نفوذی پورفیری و سنگ های اطراف آنها ظاهر شده است. سیستم های رگه ای ورقه ای و رگچه ای نازک نیمه موازی، در مناطق معینی همراه با پدیده لیچینگ اسید مشاهده می شوند. کانی سازی در این رگچه های نازک، کوآرتز+اکسیدهای آهن ثانویه، اکسیدهای آهن ثانویه و ... است.

کانی سازی های ثانویه مس شامل ملاکیت و بطور خیلی محدود آزوریت، در غرب و جنوب غرب منطقه در درزه و شکستگیهای سنگهای ولکانیکی همراه با مقادیر ناچیز بقایای کالکوپیریت ریز دانه پراکنده در متن سنگ قابل مشاهده می باشند. از غرب تا شمال غرب و حاشیه های آن، مجموعه ای از رگه و رگچه های سیلیس همراه با غنی شدگی از اکسیدهای آهن ثانویه گسترش یافته است.

منطقه ۳: در این منطقه (قلعه جوق)، کانی سازی های رگچه ای و رگه ای عمدتاً در زونهای گسله مشاهده می شوند. کانی سازی غالباً به

در نهایت، مناطق با احتمالی کانی زایی، به ترتیب اولویت بر اساس روش فازی مشخص شدند. بر این اساس، منطقه دارای سه کانی سازی قابل توجه است.

منطقه ۱: در این منطقه (کوه زر)، کانی سازی های متنوعی از نظر کانی شناسی و فاز تشکیل وجود دارند. دو نوع کانی سازی هیپوزن طلا دار در کانسار طلائی کوه زر عبارتند از:

اسپیکولاریت + کوآرتز + طلا

اسپیکولاریت + کوآرتز + کالکوپیریت ± پیریت + طلا

بافت کانی سازی اغلب بصورت برشی، رگچه ای تا شبه استوک ورک و بندرت رگه ای ماسیو است. این محدوده با اهمیت ترین منطقه از نظر شدت کانی سازی، عیار و میزان ذخیره می باشد که عیارهای متنوع و بالایی نشان می دهد.

منطقه ۲: در این منطقه (تنورچه)، کانی سازی سولفیدی (پیریت، کالکوپیریت) عمدتاً با بافت پراکنده در متن سنگ و در موارد

An, P., Moon, W. M. & Rencz, A., 1991, "Application of fuzzy set theory for integration of geological, geophysical and remote sensing data", *Canadian Journal of Exploration Geophysics*, Vol. 27 (1): 1-11

Carrenza, E. J. M., 2008, "Geochemical anomaly and mineral prospectivity mapping in GIS", *Handbook of Exploration and Environmental Geochemistry*, Vol. 11, 368 pp.

Carranza, E. J. M. & Hale, M., 2001, "Geologically constrained fuzzy mapping of gold mineralization potential, Baguio District, Philippines", *Journal of Natural Resources Research*, Vol. 10 (2): 125-136.

Cheng, Q. & Agterberg, F. P., 1999, "Fuzzy weights of evidence method and its application in mineral potential mapping", *Journal of Natural Resources Research*, Vol. 8 (1): 27-35.

de Grijter J. J., Walvoort D. J. J. & Bragato G., 2011, "Application of fuzzy logic to Boolean models for digital soil assessment", *Journal of Geoderma*, Vol. 166 (1): 15-33.

Fallah-Ghalhary, G. A., Mousavi_Baygi, M. & Habibi Nokhanadan, M., 2009, "Annual rainfall forecasting by using Mamdani fuzzy inference system", *Research Journal of Environmental Science*, Vol. 3 (4): 400-413.

Harris, J. R., Wilkinson, L., Heather, K., Fumerton, S., Bernier, M. A. & Ayer, J., 2001, "Application of GIS processing techniques for producing mineral prospectivity maps - A case study: Mesothermal Au in the Swayze Greenstone Belt, Ontario, Canada", *Journal of Natural Resources Research*, Vol. 10 (2): 91-124.

Novriadi, H. P. M. & Darijanto, T., 2006, "Applying Fuzzy Logic Method in mineral potential mapping for epithermal gold mineralization in the Island of Flores, East Nusa Tenggara using geographical information systems (GIS)", *Proceeding of 9th International Symposium on Mineral Exploration*: 62-68.

Pan, G. C. & Harris, D. P., 2000, "Information synthesis for mineral exploration", *Oxford University Press, New York*, 461 pp.

Porwal, A., Carranza, E. J. M. & Hale, M., 2006, "A hybrid fuzzy weights-of-evidence model for mineral potential mapping", *Journal of Natural Resources Research*, Vol. 15 (1): 1-14.

Tangestani, M., 2009, "A comparative study of Dempster-Shafer and fuzzy models for landslide susceptibility mapping using a GIS: An experience from Zagros Mountains, SW Iran", *Journal of Asian Earth Sciences*, Vol. 35 (1): 66-73.

Topçu, İ. B. & Saridemir, M., 2008, "Prediction of mechanical properties of recycled aggregate concretes containing silica fume using artificial neural networks and fuzzy logic", *Journal of Computational Materials Science*, Vol. 42 (1): 74-82.

صورت رگه و رگچه‌های سیلیسی با کانی سازی اسپیکولاریت، کالکوپیریت، پیریت و به مقدار کم گالن می‌باشد. در این منطقه کوارتز کانی باطله است. و فور رگچه‌های سیلیسی در واحدهای سنگی، از ویژگیهای بارز این محدوده است که در برخی مناطق نظیر کوه سیانو، زونهای رگچه ای را تشکیل می دهد. بیشتر این رگچه‌ها دارای اسپیکولاریت و کانی سازی سولفیدی مس و پیریت هستند. در نمونه هایی که از رگچه های کانی سازی در منطقه قلعه جوق گرفته شده عیار طلا تا ۳۶ ppm نیز مشاهده شده است.

۵- نتیجه گیری

در اکتشافات ناحیه‌ای، روش منطق فازی در کنار سیستم اطلاعات جغرافیایی، روشی اساسی جهت تهیه نقشه پتانسیل معدنی می‌باشد. با توجه به ارتباط مستقیم این روش به نظر کارشناس، در مواقعی که اطلاعات در مورد یک کانی سازی خاص کافی نباشد، استفاده از این روش می تواند نتایج قابل قبولی را ارائه دهد. در این مقاله، از ۵ عملگر روش فازی برای تهیه نقشه پتانسیل مطلوب کانی‌زایی طلائی هیدروترمال در منطقه تربت حیدریه استفاده شده و مناطق با اهمیت از نظر اکتشافی به ترتیب اولویت مشخص شدند. این مناطق با اندیس‌ها و رگه های کانی سازی شده در منطقه ارتباط مستقیمی داشته، به طوری که مهمترین و با ارزش ترین کانی سازی‌ها در این مناطق واقع شده اند. از این الگوی تلفیق می توان برای تهیه پتانسیل مطلوب در مناطق با کانی سازی مشابه نیز استفاده نمود و محدوده های با اهمیت را شناسایی کرد. همچنین، استفاده از اطلاعات اکتشافی مختلف شامل آتراسیون های حاصل از تصاویر ماهواره ای، ژئوفیزیک هوایی، زمین شناسی، ساختاری و ژئوشیمیایی به طور همزمان و در غالب تلفیق اطلاعات در محیط GIS با روش های مناسب، می تواند اهمیت بسیار بالایی در فرایند اکتشاف داشته و نتایج مطلوبی را ارائه نماید.

مراجع

بونهام-کارتز، گ.، ۱۳۷۹، "سیستمهای اطلاعات جغرافیایی برای دانش پژوهان علوم زمین، مدل سازی به کمک GIS"، ترجمه گروه اطلاعات زمین مرجع سازمان زمین شناسی و اکتشافات معدنی کشور، چاپ اول، سازمان زمین شناسی و اکتشافات معدنی کشور، تهران، ۵۶۲ ص.

حیدری، ع.، ۱۳۹۰، "گزارش طرح بهره برداری معدن طلائی کوه زر تربت حیدریه"، شرکت صنعتی-معدنی زرمهر، ۱۳۳ ص.

متکان، ع. ا.، سمیعا، ج.، پورعلی، ح. و صفایی، م.، ۱۳۸۸، "مدلهای منطق فازی و سنجش از دور جهت پهنه بندی خطر زمین لغزش در حوضه ی آبخیز لاجیم"، فصلنامه زمین شناسی کاربردی، شماره ۴: ۳۱۸-۳۲۵.